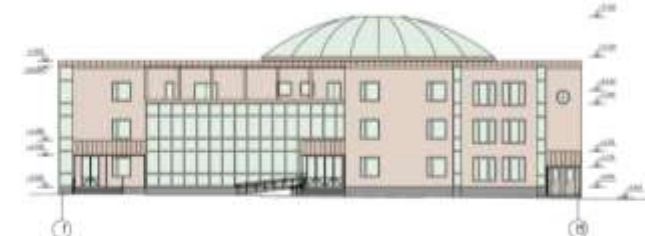
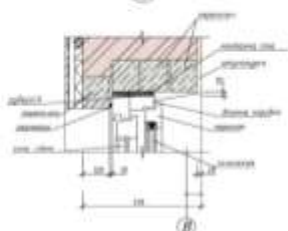
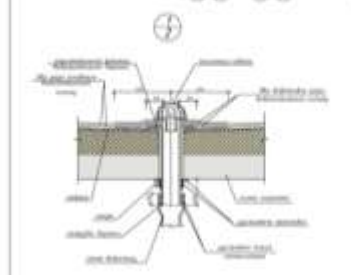
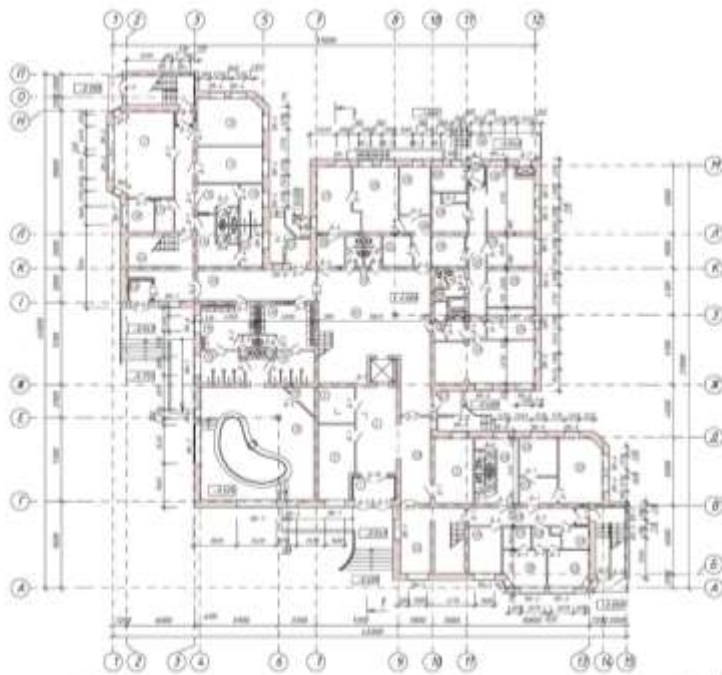


Фасад 1-15



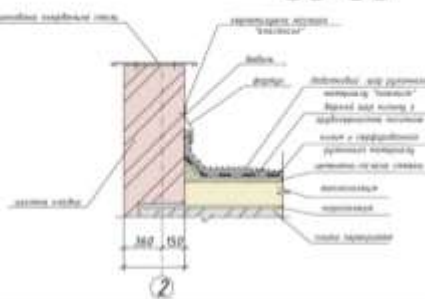
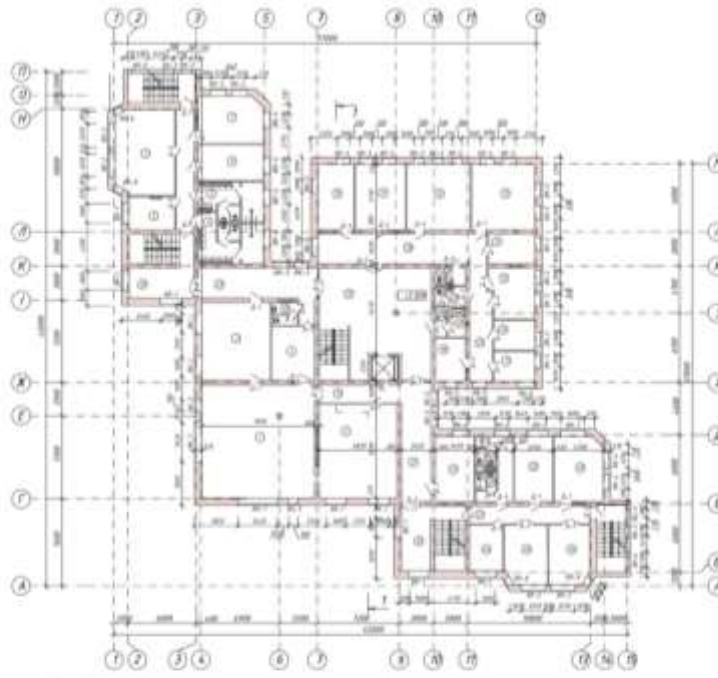
План первого подъезда



Фасад 15-1



План второго подъезда



Общее количество этажей в здании		
Номер этажа	Номер секции	Номер блока
1	1	1
2	2	2
3	3	3
4	4	4
5	5	5
6	6	6
7	7	7
8	8	8
9	9	9
10	10	10
11	11	11
12	12	12
13	13	13
14	14	14
15	15	15
16	16	16
17	17	17
18	18	18
19	19	19
20	20	20

Количество этажей в здании: 20

Номер этажа: 1-20

Номер секции: 1-20

Номер блока: 1-20

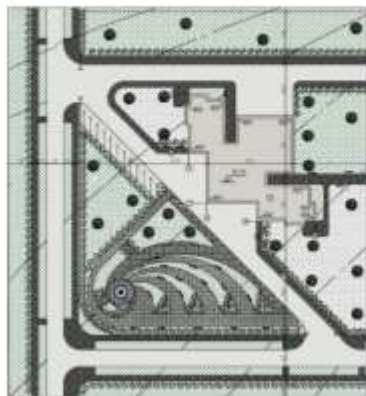
Номер этажа: 1-20

Номер секции: 1-20

Номер блока: 1-20

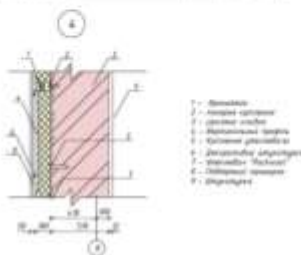


ГЕНПЛАН



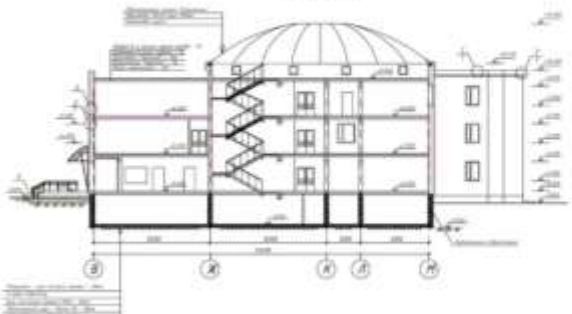
ТЕП Генплану

№ п/з	Наименування	ПД, м²	Кільк.
1	Площа даху	м²	15516,2
2	Площа трубопровідів	м²	153,2
3	Площа підваління	м²	5200,2
4	Площа коридорів та дверей	м²	500,2
5	$K_{1,2} \dots K_{2,1}$		0,1
6	$K_{1,2} \dots K_{2,1}$		0,452
7	$K_{1,2} \dots K_{2,1}$		2,442

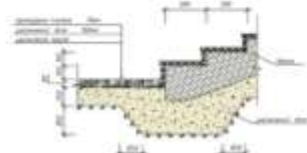
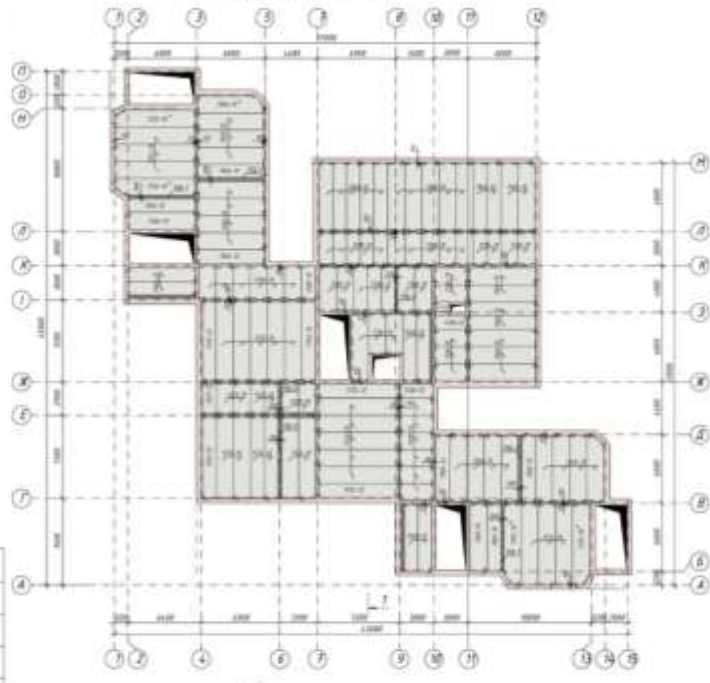


Позначення	Наименування
1	Прямоугольна ділянка
2	Газон
3	Дорога
4	Руслі
5	Гребінь
6	Тротуар
7	Дороги по газону
8	Дорожні покриття
9	Відрізане територію з відходами
10	Ліс

Розріз 1-1



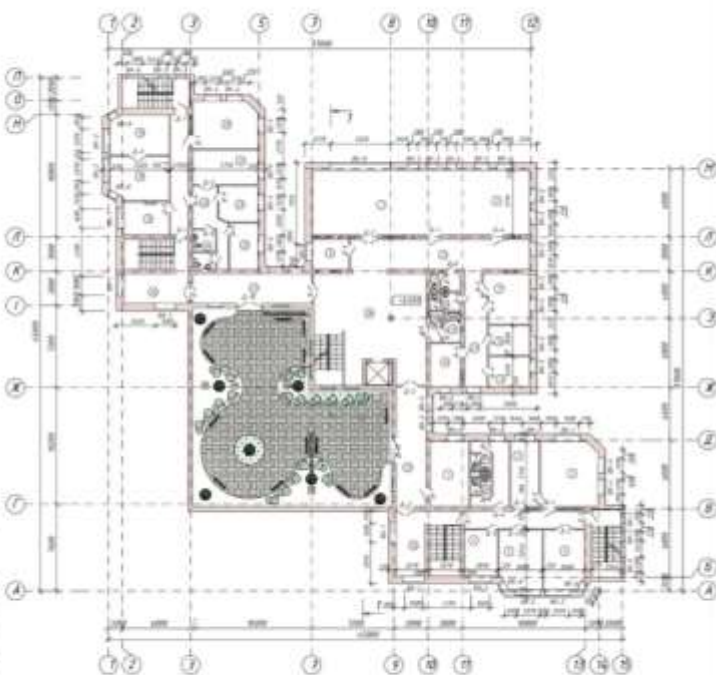
План перекриття



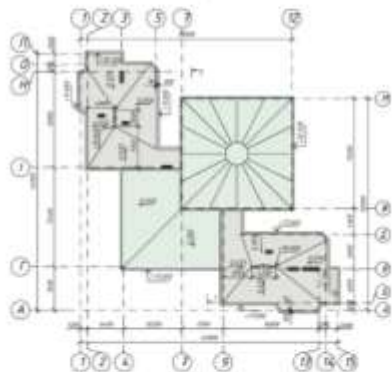
Експлікація генплану

№ п/з	наименування	площа, м²	примітка
1	Торгово-розважальний центр	695,47	
2	Автостоянка	258,4	
3	Ліс відомості "Фокса"	1018,2	

План третього поверху



План покрівлі



ІД-ІДНР ІДН-АР

Прибутково-житловий центр в місті Івано-Франківську		
Відповідальні за проект:	Іванов Олег	Іванов Олег
Відповідальні за будівництво:	О	І
Площа будівлі:	10000	10000
Площа даху:	15516,2	15516,2

Монолітне перекриття 1-ого поверху

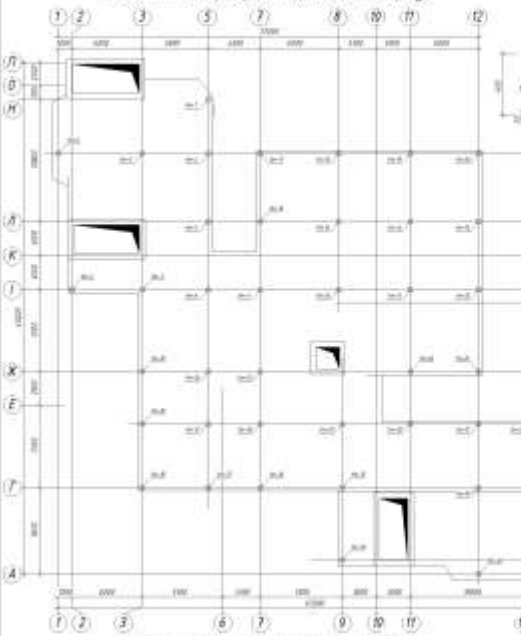
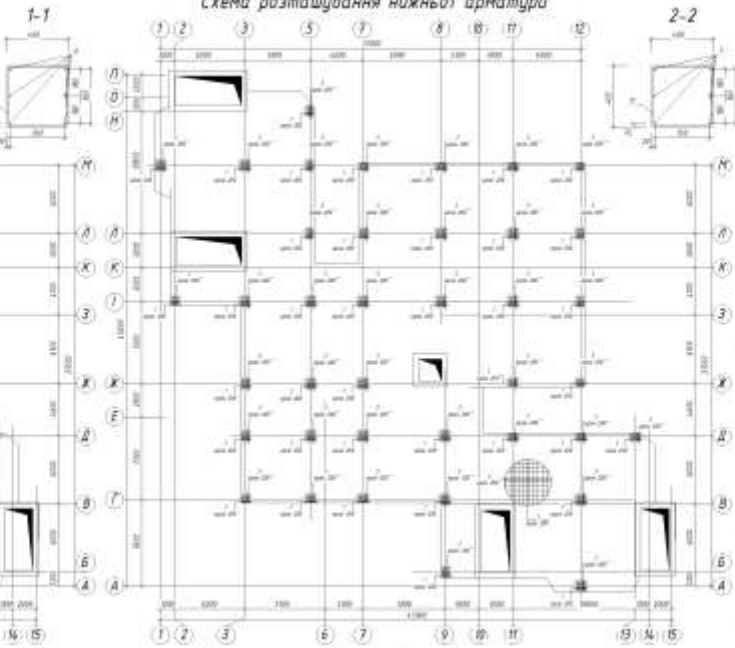


Схема розташування нижньої арматури



Колона Кн-15



Спеціфікація заливобетонних елементів

Поз.	Позначення	Позначення	Кіл.	Маса з/кг	Вимірюв.
Лн-1	бетон моноліт.	Бетон моноліт Лн-1	1		
Кн-1	бетон моноліт.	Бетон моноліт Кн-15	1		

Спеціфікація арматури на Лн-1 та Кн-15

Поз.	Позначення	Позначення	Кіл.	Маса з/кг	Вимірюв.
Лн-1 моноліт Лн-1					
1	ДЕТУ 376-2006	#10 А235C, Ізот-2000	154.1		
2	ДЕТУ 376-2006	#10 А235C, Ізот-2000/ІІ	4.86		
3	ДЕТУ 376-2006	#10 А235C, Ізот-2000/ІІІ	159		
4	ДЕТУ 376-2006	#12 А235C, Ізот-2000/ІІІ	34.36		
5	ДЕТУ 376-2006	Гардес №12 з/і 15544	485.7		
Кн-15 моноліт Кн-15					
6	ДЕТУ 376-2006	#20 А400C, L=200	4 3.07		
7	ДЕТУ 376-2006	#20 А400C, L=200/ІІ	4 7.66		
8	ДЕТУ 376-2006	#20 А400C, L=200/ІІІ	4 5.13		
9	ДЕТУ 376-2006	#20 А400C, L=200/ІІІ	4 4.53		
10	ДЕТУ 376-2006	#20 А235C, L=200	12 0.36		
11	ДЕТУ 376-2006	#20 А235C, L=200	12 0.36		
12	ДЕТУ 376-2006	#20 А235C, L=200	12 0.36		
13	ДЕТУ 376-2006	#20 А235C, L=200	12 0.36		
Ізотропи					
Бетон клац 28/25					
Лічильна поверхня Кн-15					

Спеціфікація арматури на Кр-1

Модель балки	Познака вимірювання	Надійність	Кіл.	Маса з/кг	Маса балки, кг
Кр-1	№ А400С ДЕТУ 376-2006 I-ІІІ	—	1	84	
	№ А400С ДЕТУ 376-2006 I-ІІІ	—	1	88	
	№ А400С ДЕТУ 376-2006 I-ІІІ	—	1	88	119

Деталь встановлення стиков арматури



Відомості дитячими складами на Лн-1 та Кн-15, кг

Номер розділу	Барви цементного армованого квату						Вага, кг
	ДЕТУ 376-2006	A400C	—	—	—	—	
Лн-1	Р10	Р10	Р12	Р12	Р16	Р16	1071.0
Кн-15	Р12	Р12	—	—	Р20	Р20	2223.9



ПЕРЕД ПЛАНІ Гн-1

Задовільно-добре	Задовільно	Добре	Важко
1. Планування	2. Розробка	3. Виконання	4. Проверка
5. Склад	6. Використання	7. Виведення	8. Заміна
9. Технічні	10. Економічні	11. Організаційні	12. Планування
13. Технічні	14. Економічні	15. Організаційні	16. Планування

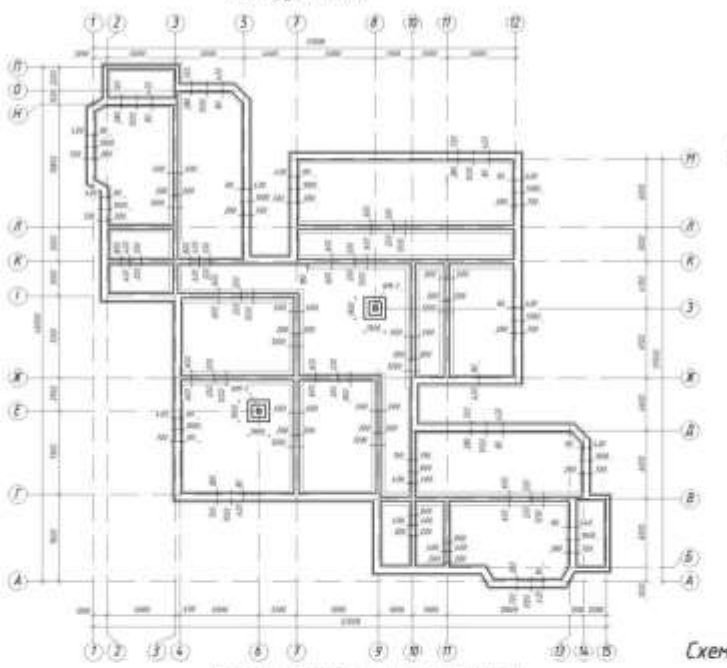
Задовільно-добре

Задовільно

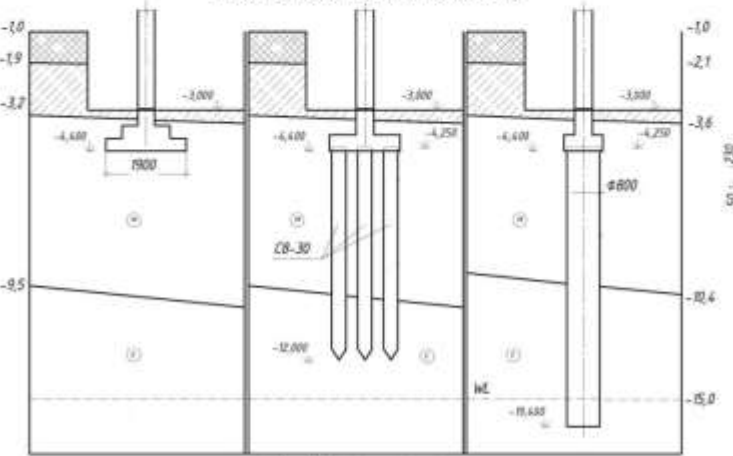
Добре

Важко

План фундаментів



Геологічний розріз та схема фундаментів

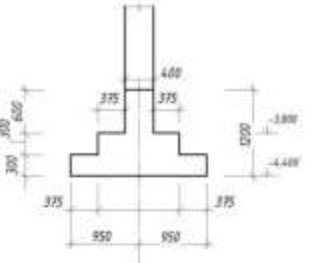


Умовні позначення

	Насичена зона
	Лиш фракції, сприйняті активно, недобивки

	Лиш скелі, сприйняті активно
--	------------------------------

ФМ-1



ФМ-1

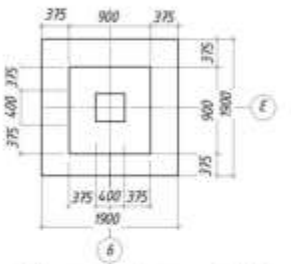
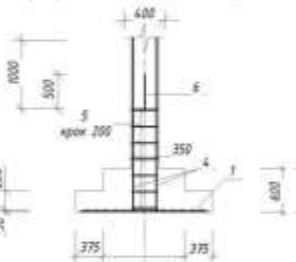
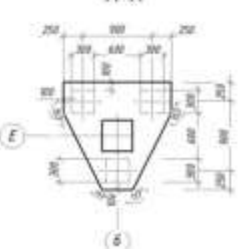


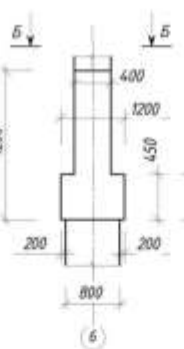
Схема армування фундаменту ФМ-1



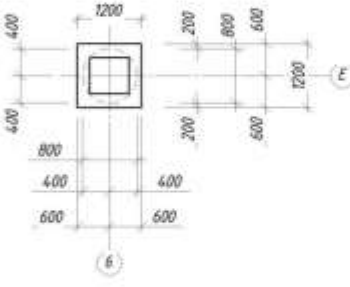
А-А



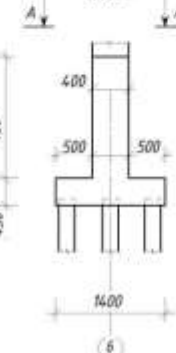
ФБЛ-1



Б-Б



ФБЛ-1



Специфікація на фундамент ФМ-1

Рядок	Дан.	Позначення	Наданування	Шифр	Значення
Фундамент ФМ-1					
2.1	1	Стіна С-1	1		
Делані					
2.2	2	ДСТУ 3760:2006	ІМ А400С, І-1800	II	23,88
2.3	3	ДСТУ 3760:2006	ІМ А400С, І-1800	II	23,88
2.4	4	ДСТУ 3760:2006	ІМ А400С, І-2175	4	10,41
2.5	5	ДСТУ 3760:2006	ІВ А240С, І-380	7	1,05
2.6	6	ДСТУ 3760:2006	ІВ А400С, І-1800	4	10,37
Валок С39/35					

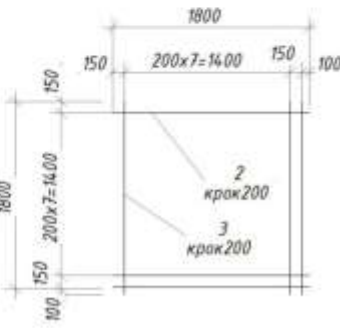
Відомість витрати сталі на ФМ-1

Поз. номер	Довжина залізки	279 290,280
2.2	180	438
2.3	180	438
2.4	180	438

Техніко-економічне порівняння варіантів фундаментів

Номер фундаменту	Наимен.	Загальна	Наименование	шт	%
ФМ-1	110	30	111	30	100
ФБЛ-1	32,90	61,07	112	112	33,47
ФБЛ-2	21,90	22,98	124	124	35,39

С-1

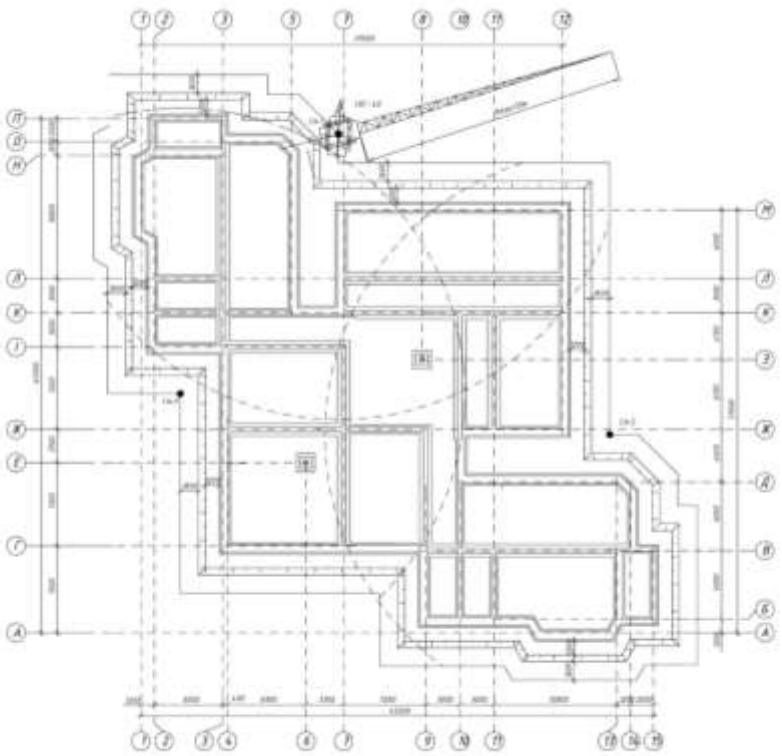


09-201907.009-К3

№	Позиція	Опис	Місце	Місце	Місце	Місце
Прикладно-реактивний цикл 9 чист (інженерний)						
Відрізняється концептуальними структурами наявності						
1			Зад	Бок	Дол	Лев
Прикладно-реактивний цикл 9 чист (інженерний)						
2			Лев	Бок	Дол	Зад
Прикладно-реактивний цикл 9 чист (інженерний)						
3			Лев	Дол	Бок	Зад
Прикладно-реактивний цикл 9 чист (інженерний)						
4			Зад	Дол	Бок	Лев

ДСТУ 2.0-2.04

Схема влаштування фундаментів



Календарний графік виконання робіт

№ ряд	Послідовність робіт	Дійсні роботи	Задіяний розподіл			Виконання	Інші	Планування	Задіяний
			Відмінні	Добре	Задовільне				
1	Монтаж опор та обшивок Блоки заливання	2000	7,2250	15,17	154,8	30,1	2	2	30-3221
2	Заливання розчину	2000	2,0250	4,01	0,0	1,0	2	2	30-3221
3	Заливання фундаментів	2000	1,7700	41,30	87,0	15,2	1	0	30-3221
4	Монтування підлоги	2000	25,5420	30,00	10,0	10	2	0	30-3222
5	Заливання підлоги підлоговим	2000	0,910	17,17	16,8	16,5	2	0	30-3222
6	Заливання стінок	2000	44,930	74,40	90,8	32,9	2	0	30-3222
7	Заливання стінок з балкою	2000	4,2000	1,3	4,0	1,0	2	0	30-3222
8	Заливання стінок з балкою	2000	4,3000	16,2	30,7	10	2	0	30-3222
9	Заливання стінок	2000	4,3000	16,7	30,7	10	2	0	30-3222
10	Заливання стінок з балкою	2000	4,3000	17,0	30,7	10	2	0	30-3222
11	Заливання стінок з балкою	2000	4,3000	17,3	30,7	10	2	0	30-3222

Графік руху робітників

Техніко-економічні показники

№ ряд	Показники	Об виду	Значення
1	Трудовість виконання робіт	до	93
2	Працебітрати на 1 м ³ розчину	ліф.рн	2,8710
3	Собівартість виконання 1 м ³ розчину	грн.кап.	17,25
4	Виробіток на 1 робітника за зміну	м ² /24	48,98

Схема розробки котловану

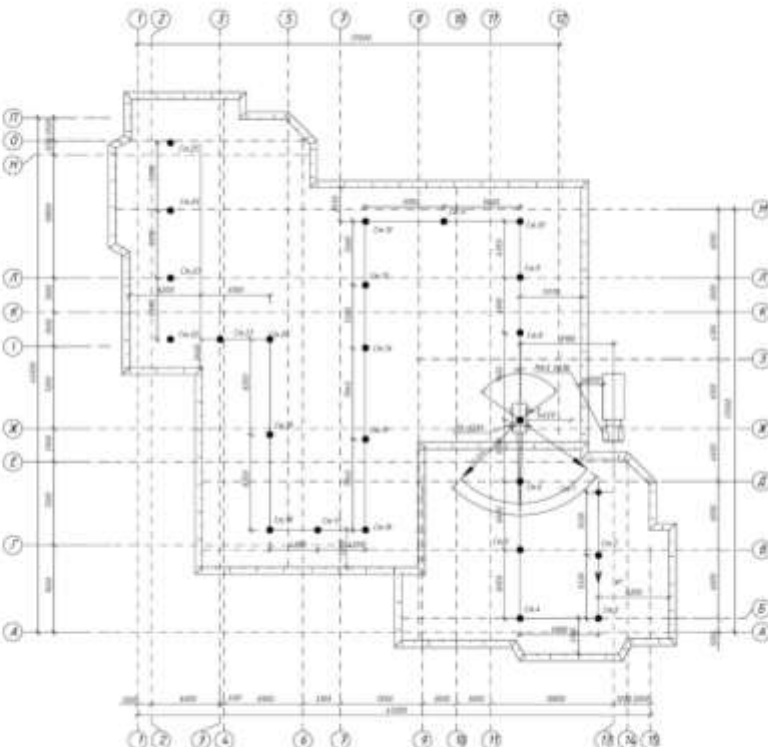


Схема задою екскаватора
вигляд зверху

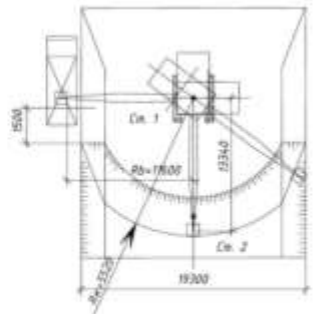
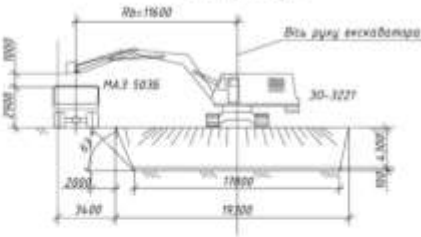


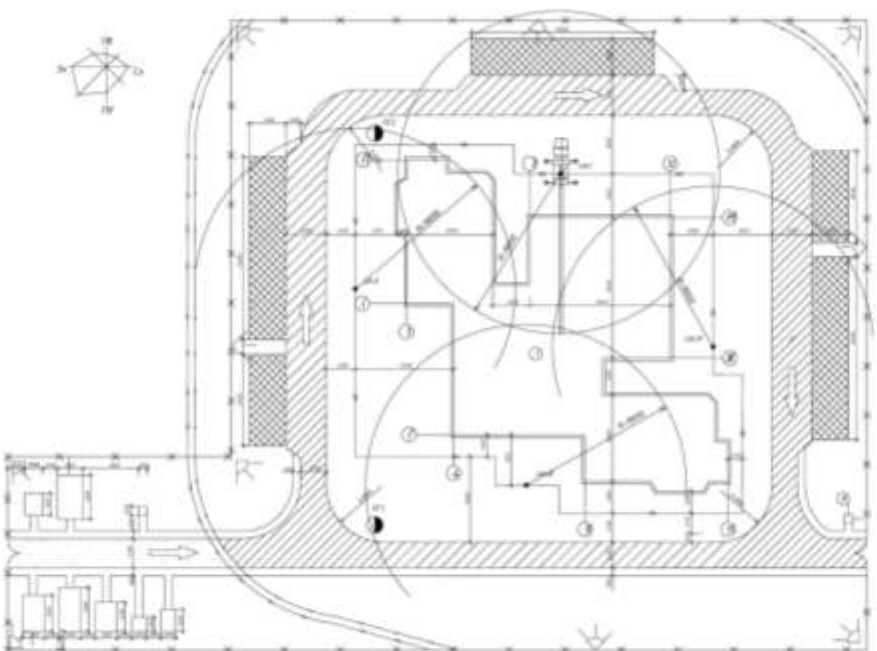
Схема задою екскаватора
вигляд збоку



30-32НРР-300-ПВР

Технічні характеристики зони виконання		Зона виконання	
Від	До	Від	До
Від	До	Від	До
Від	До	Від	До
Від	До	Від	До
Від	До	Від	До

Будгеноплан



Техніко-економічні показники

Показник	Показник
Трудомисливість на весь АГС, мільй.	213
Потр. затрати праці на 1 т землі, мільй.	0,99
Розподіл на 1 кг робочої землі, м ² /т/кг	1,9
Трудомисливість робіт, дн.	100

Календарний графік виконання робіт

№	Підготовчі роботи	2010 рік		Підготовка до робіт		Всі роб.	План	Інтервал	Довжина	Площа	Площа
		заг	заг	заг	заг						
1	Апаративне підготовлення	0,00	112,0	0,0	112	2	4	41-430	—	—	—
2	Апаративне підготовлення	0,00	1,939	0,0	1,939	2	0	41-431	—	—	—
3	Монтаж підлоги	0,00	4,09	0,00	4,09	100	2	0	41-432	—	—
4	Встановлення підлоги	0,00	119,67	20	139,67	2	0	41-433	—	—	—
5	Монтаж складової підлоги на підлогі	0,00	4,0	0,0	4,0	2	0	41-434	—	—	—
6	Монтаж облицювання	4	812,4	280,4	1092,4	2	0	41-435	—	—	—
7	Монтаж складової підлоги на підлогі	0,00	32,0	42,0	74,0	2	0	41-436	—	—	—

Графік руху робітників



Схема подачі цегляної кладки

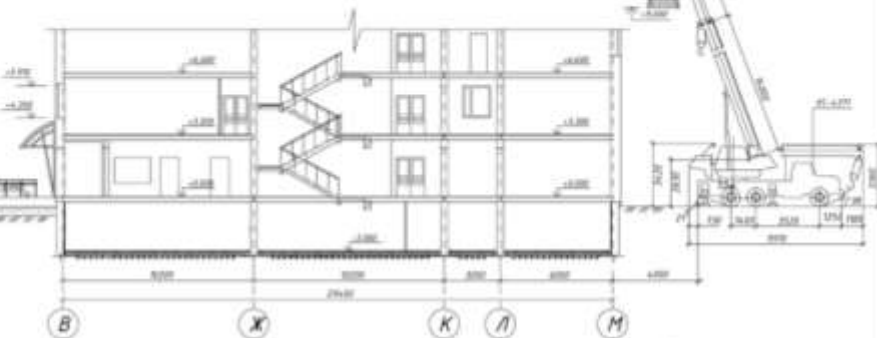


Схема монтажу плит перекриття

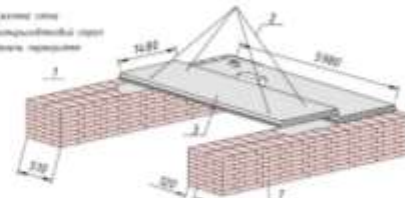


Схема спроп鲁вання бадді для бетонування перекриття та колон

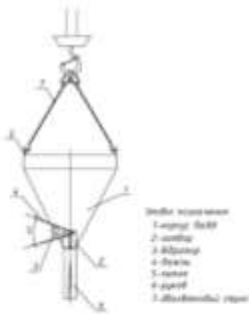
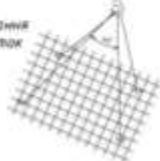


Схема скрінкових нарізів



Схема спроп鲁вання арматурних стілок



ДС-ДЕ РНР-200-ГВР			
Призначений для використання землями фундаментами			
Відповідальність за розробку	Інженер	Інженер	Інженер
Відповідальність за реалізацію	Інженер	Інженер	Інженер
Відповідальність за виконання	Інженер	Інженер	Інженер
Відповідальність за контролю	Інженер	Інженер	Інженер
Відповідальність за реалізацію	Інженер	Інженер	Інженер
Відповідальність за виконання	Інженер	Інженер	Інженер
Відповідальність за контролю	Інженер	Інженер	Інженер

ДС-ДЕ РНР-200-ГВР

Вибір раціональної конструкції купольного покриття

Мета і задачі дослідження. Метою роботи є скінчено-елементне моделювання металевого сітчастого і ребристо-кільцевого купольного покриття та дослідження ефективності його практичного використання.

Для досягнення поставленої мети потрібно було вирішити такі задачі:

- виконати аналіз сучасного стану проектування і будівництва купольних конструкцій;
- здійснити скінчено-елементне моделювання металевого сітчастого та ребристо-кільцевого купольного покриття;
- виконати статичний розрахунок, визначити параметри напружено-деформованого стану і порівняти дві конструктивні схеми куполів за витратами сталі.

Об'єкт досліджень – металеві сітчасті та ребристо-кільцеві купола як конструктивні форми покриття об'єкта будівництва.

Предмет досліджень – напружено-деформований стан конструкції металевого сітчастого та ребристо-кільцевого купольного покриття.

Методи дослідження основані на принципах математичного моделювання та існуючих сучасних програмних комплексах.

Наукова новизна одержаних результатів полягає в наступному:

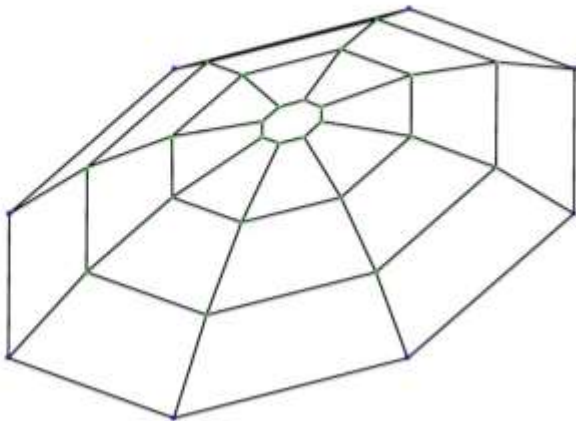
- виявлено особливості напружено-деформованого стану в характерних ділянках металевих сітчастих та ребристо-кільцевих конструкцій купольних покриттів;
- запропоновано методику дослідження металевих куполів з різними діаметрами та фіксованою стрілою підйому;
- розроблено ефективну конструктивну форму вузлових з'єднань для підвищення експлуатаційних якостей металевих куполів;
- обґрутовано розрахункові моделі та здійснено аналіз ефективності практичного використання металевих конструкцій купольних покриттів.

Практичне значення одержаних результатів полягає в тому, що:

- запропоновані конструкції металевих купольних покриттів з мінімальними витратами сталі;
- розроблені для практичного застосування принципи отримання оптимальної моделі металевих сітчастих та ребристо-кільцевих куполів;
- результати досліджень дозволяють обґрутовано і з найменшими витратами матеріалу виконувати роботи з проектування реальних металевих купольних конструкцій.

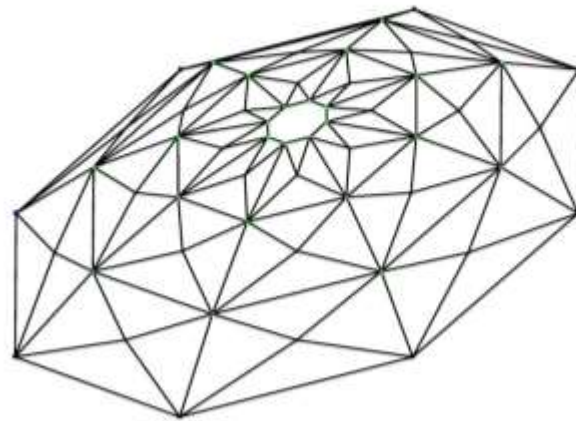
Скінчено-елементні моделі купола

Загружение 1



ребристо-кільцевого

Загружение 1

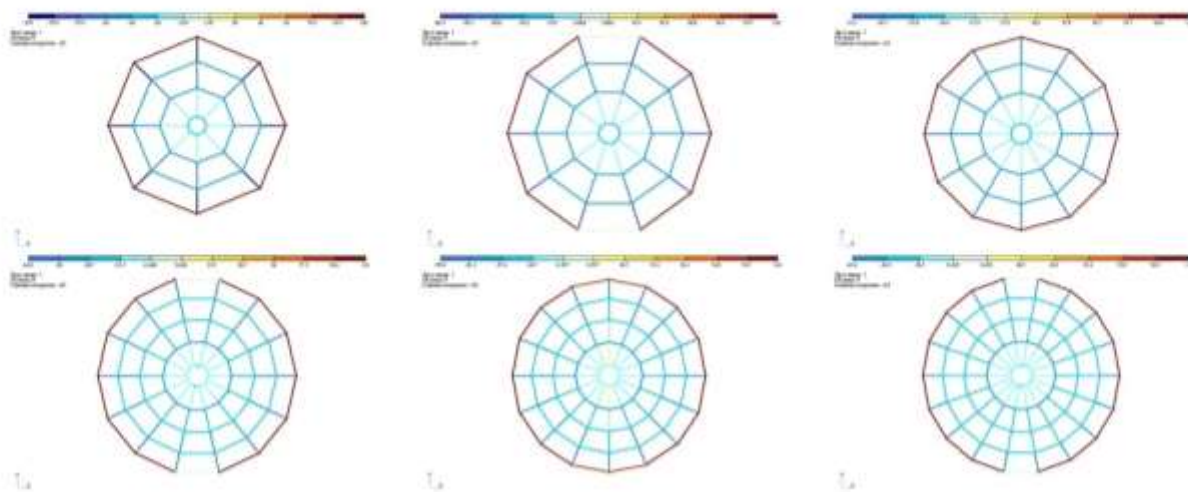


сітчастого

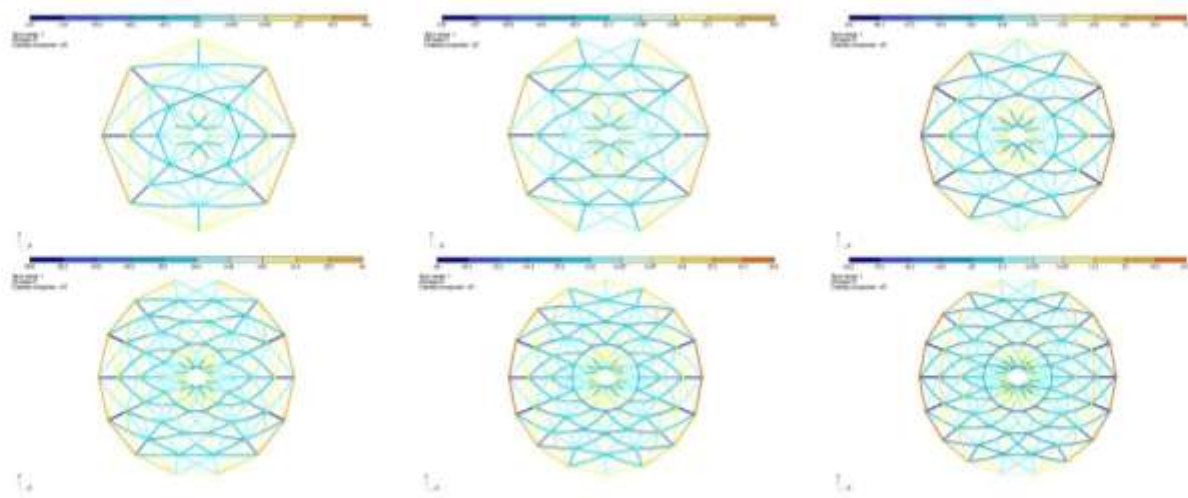
Геометричні параметри куполів діаметром 19 м

Номера варіантів	Висота, м	Кількість		Форма і розміри прокатного профілю для елементів, мм	Матеріал
		секторів	рівнів розташування кілець		
1	3,07	8	4	$\text{Ø } 70 \times 5,0$	Вет3пс
2	3,15	10	4	$\text{Ø } 50 \times 4,5$	Вет3пс
3	3,26	12	4	$\text{Ø } 70 \times 5,0$	Вет3пс
4	3,37	14	5	$\text{Ø } 50 \times 4,5$	Вет3сп
5	3,43	16	5	$\text{Ø } 68 \times 4,5$	Вет3сп
6	3,5	18	5	$\text{Ø } 50 \times 4,5$	Вет3сп

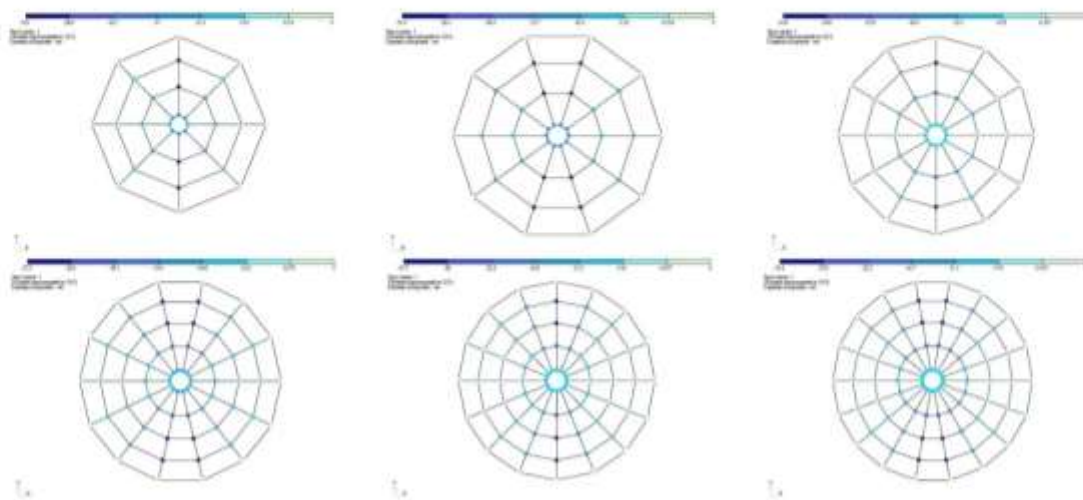
Мозайки поздовжніх сил в елементах ребристо-кільцевих куполів



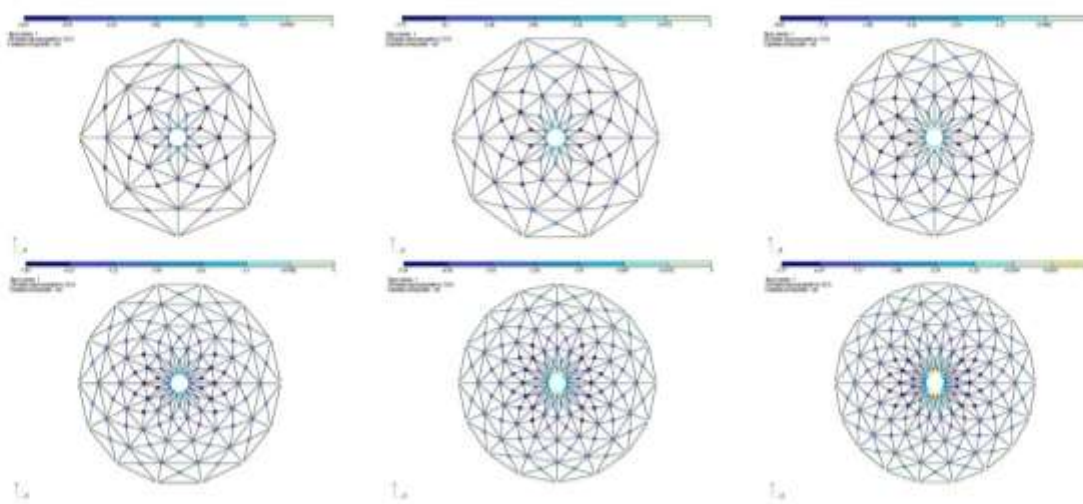
сітчастих куполів



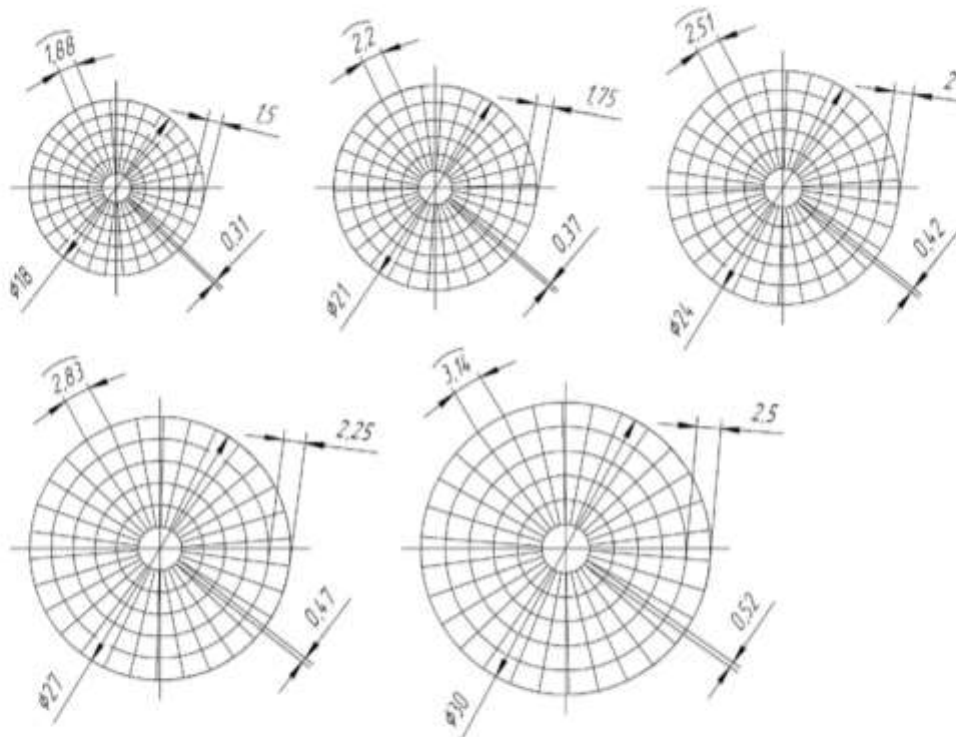
Мозаїки вертикальних переміщень вузлів ребристо-кільцевих куполів



сітчастих куполів



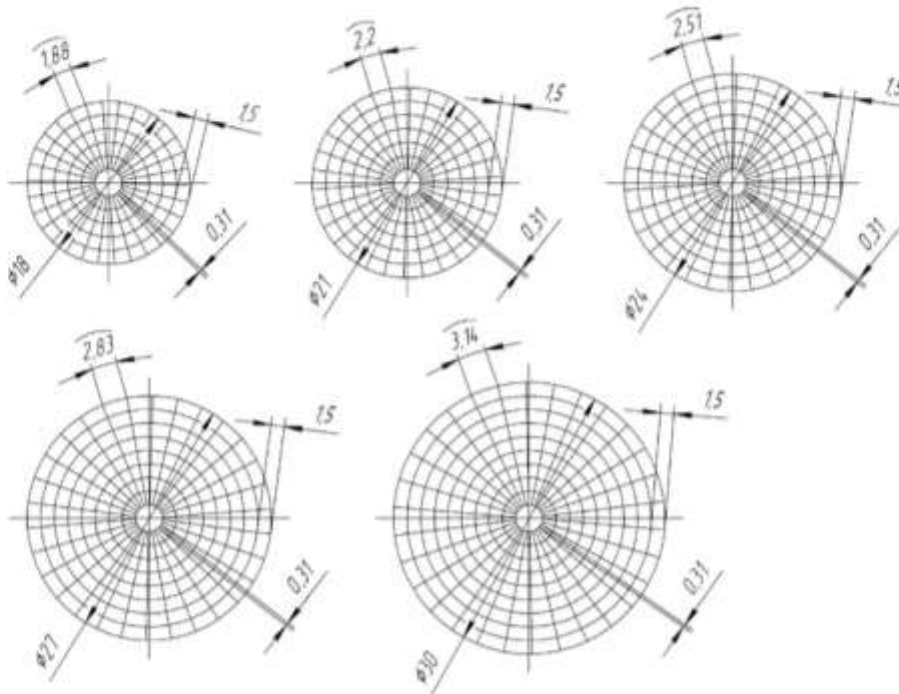
Схеми скінчено-елементних моделей куполів з постійною кількістю чарунок



Геометричні параметри куполів висотою 10 м з постійною кількістю чарунок

Номера куполів	Діаметр кільця, м		Довжина кільцевого елемента, м		Кут нахилу ребер, °
	верхнього, d	нижнього, D	мінімальна	максимальна	
1	3,0	18	0,31	1,88	53,55
2	3,5	21	0,37	2,20	49,16
3	4,0	24	0,42	2,51	45,17
4	4,5	27	0,47	2,83	41,53
5	5,0	30	0,52	3,14	38,45

Схеми скінчено-елементних моделей куполів зі змінною кількістю чарунок



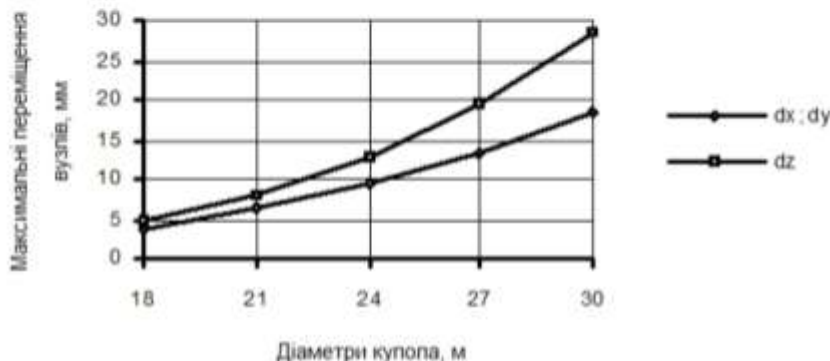
Геометричні параметри куполів висотою 10 м зі змінною кількістю чарунок

Номера куполів	Діаметр, м	Кількість		Максимальна довжина кільцевого елемента, м	Довжина меридіонального елемента, м	Відстань між кільцевими, м	Кут нахилу ребер, °
		рівнів розташування кілець	чарунок				
1	18	6	150	1,88	2,50	2,00	53,55
2	21	7	180	2,20	2,25	1,67	48,18
3	24	8	210	2,51	2,08	1,43	43,53
4	27	9	240	2,83	1,96	1,25	40,30
5	30	10	270	3,14	1,87	1,11	36,37

Залежність максимальних переміщень вузлів від діаметра скінчено-елементних моделей купола

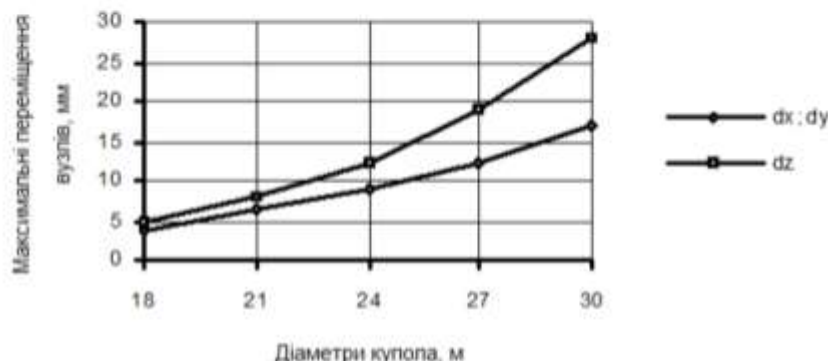
з кількістю п чарунок

постійною



$n = \text{const}$

змінною



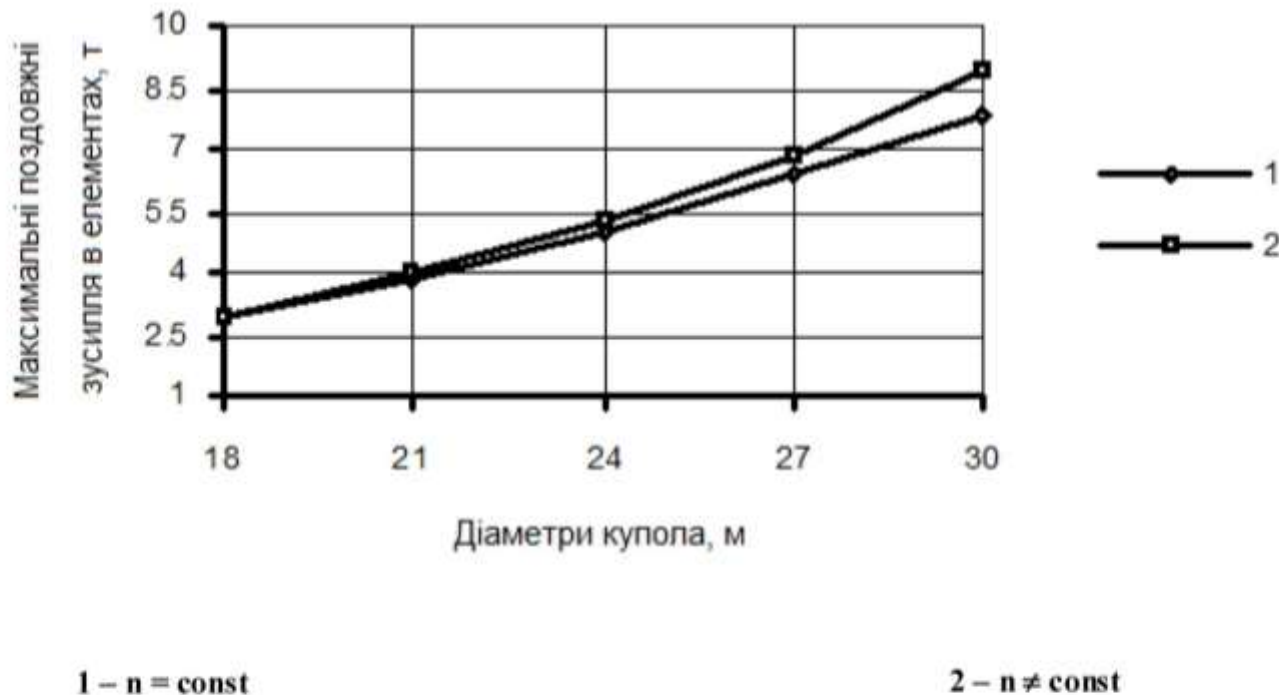
$n \neq \text{const}$

Вузлові навантаження куполів висотою 10 м з постійною і змінною кількістю чарунок

Номера куполів	Діаметр, м	Вузлові навантаження при кількості чарунок, т											
		постійний						змінний					
1	18	0,48	0,79	0,63	0,47	0,32	0,08	0,48	0,79	0,63	0,47	0,32	0,08
2	21	0,55	0,92	0,74	0,55	0,37	0,10	0,50	0,85	0,71	0,57	0,43	0,29
3	24	0,63	1,05	0,84	0,63	0,42	0,11	0,53	0,92	0,79	0,66	0,53	0,40
4	27	0,71	1,18	0,95	0,71	0,47	0,12	0,56	0,99	0,87	0,74	0,62	0,50
5	30	0,79	1,31	1,05	0,79	0,53	0,14	0,59	1,06	0,94	0,83	0,71	0,59

Залежність максимальних поздовжніх сил в елементах від діаметра скінчено-елементних моделей купола

з різною кількістю п чарунок:
1 – постійною; 2 – змінною

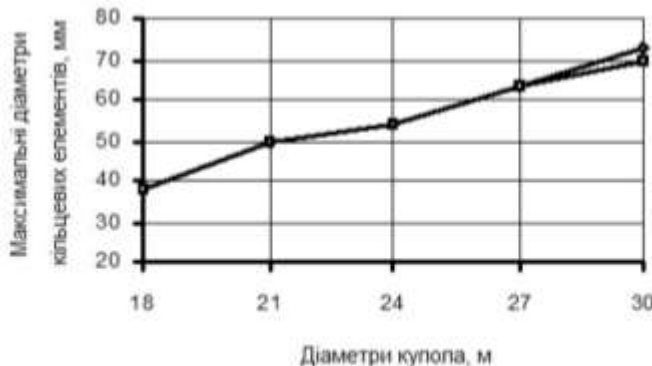


Схожа тенденція збільшення максимальних поздовжніх сил в елементах від діаметра скінчено-елементних моделей купола з постійною і змінною кількістю чарунок підтвердила правильність геометричного моделювання

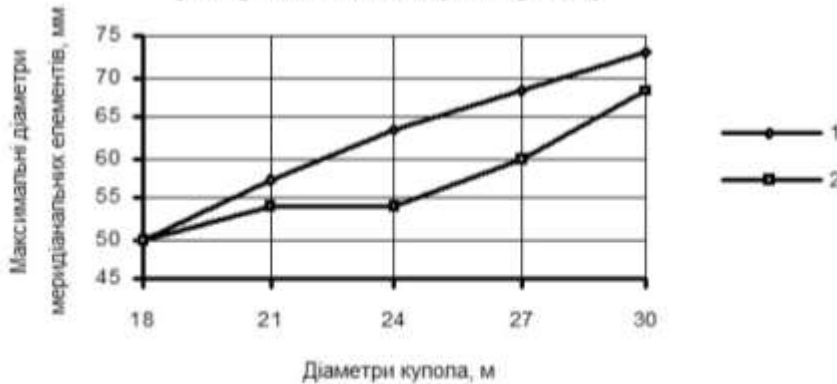
Залежність максимальних діаметрів кільцевих і меридіональних елементів від діаметра скінчено-елементних моделей купола

з різною кількістю п чарунок:
1 – постійною; 2 – змінною

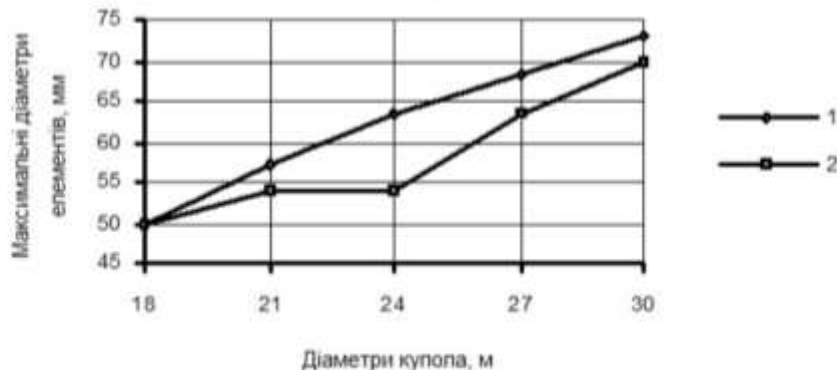
за напрямком кільца



у меридіональному напрямку

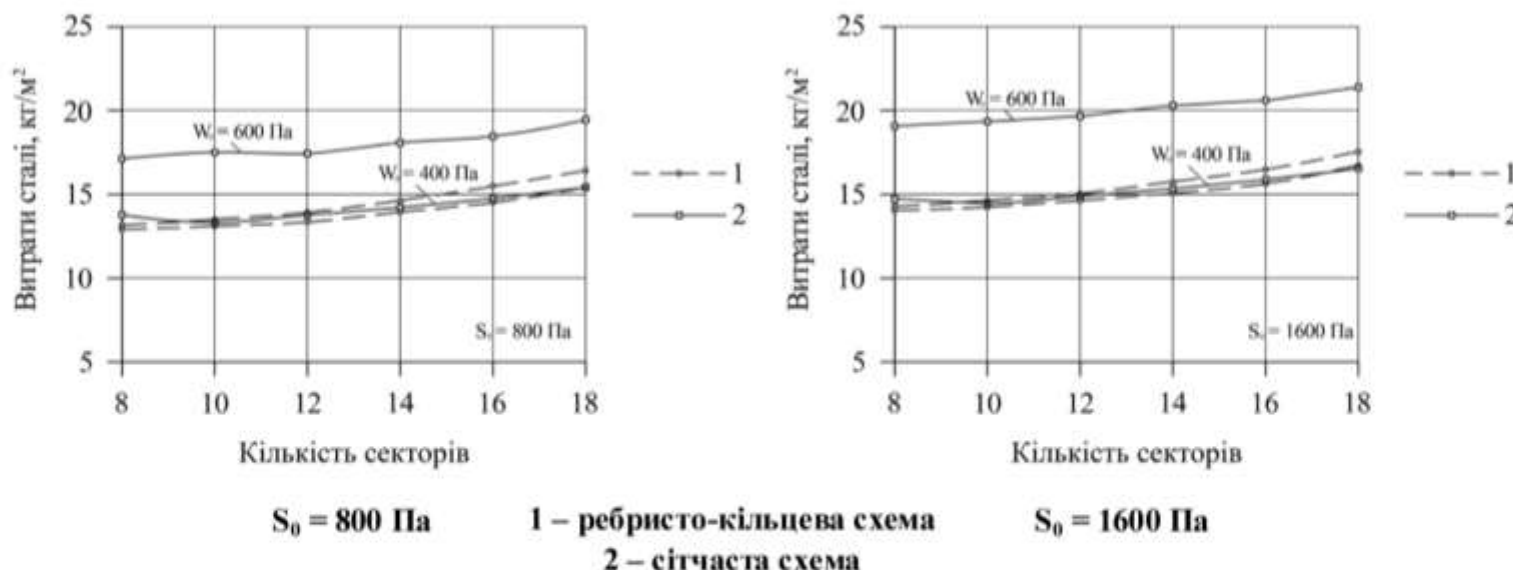


за обома напрямками



Залежність відносних витрат сталі скінчено-елементних моделей куполів від кількості секторів

на 1 м² поверхні просторової конструкції

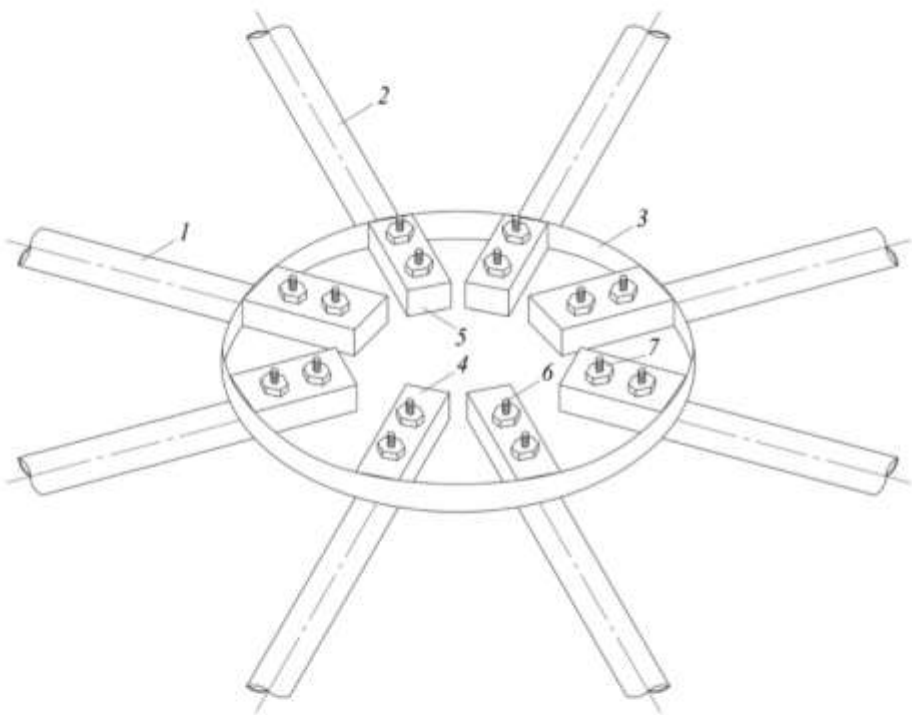


Фрагмент параметрів для розрахунку маси купола засобами MS Excel*

№ елемента	Профіль, мм	Плотома вага, кг/м	Довжина елемента, м	Маса, кг
1	68 x 8	11.84	3.05	36.11
2	68 x 8	11.84	3.05	36.11
3	68 x 7.5	11.19	3.05	34.13
...
56	25 x 2.5	1.39	0.77	1.0703

*параметри для розрахунку маси ребристо-кільцевого купола висотою 3,07 м

Вузлове з'єднання серединної поверхні просторових купольних конструкцій



- 1, 2 – трубчасті стержні з розплющеним кінцем;
- 3 – фасонна лита вузлова деталь у вигляді штампованої тарілки;
- 4 – ребра жорсткості П-подібного гнутого профілю, які спрямовані поличками за напрямком нормалі до поверхні купола;
- 5 – торцеві заглушки на кінцях ребер жорсткості;
- 6 – болти з нарізною різьбою;
- 7 – гайки

Ребра жорсткості 4 запропоновано прикріпити до фасонної литої вузлової деталі 3 та орієнтувати радіально уздовж трубчастих стержнів 1 і 2 поверхні купольної конструкції

Висновки за результатами досліджень

Методом комп'ютерного моделювання і розрахунку отримано оптимальне рішення купольних покриттів.

Розроблено методику дослідження металевих куполів з різними діаметрами та фіксованою стрілою підйому.

Проведений розрахунок дозволив виявити найбільш небезпечні ділянки куполів з точки зору концентрації зусиль та переміщень по поверхні. У підсумку проаналізовано усі варіанти конструкцій.

Виконано аналіз силового чинника, що визначає завантаженістьожної системи. Оцінено характер розподілу поздовжніх зусиль в елементах сігчастих і ребристо-кільцевих куполів від спільної дії власної ваги і прикладеного навантаження.

За результатами розрахунків відмічено, що елементи опорних кілець з одним або двома приопорними кільцями виявилися розтягнутими, інші елементи отримали стиск.

Оцінено параметри деформування, які визначили уразливість вузлівожної конструкції. Встановлено характер зміни форми сігчастих і ребристо-кільцевих куполів від спільної дії власної ваги і прикладеного навантаження.

Виявлено, що максимальні вертикальні переміщення вузлів для усіх варіантів купола в основному змінюються за однією і тією ж закономірністю.

Із результатів проведених чисельних досліджень куполів різного діаметра, але з незмінною кількістю секторів і фіксованою стрілою підйому отримано низку закономірностей, що мають важливий прикладний і практичний характер.

Виконані розрахунки дозволили визначити основні параметри, які характеризують поведінку і тенденції роботи конструкцій для постійної і змінної кількості чарунок при збільшенні діаметра покриттів від спільної дії власної ваги і прикладеного навантаження.

Додавання рівнів розташування кілець призвело до істотного зменшення максимальних вертикальних переміщень вузлів і деякого збільшення найбільших поздовжніх зусиль в елементах.

Підібрано перерізи стержнів сігчастого і ребристо-кільцевого купола і визначено масуожної конструкцій.

Отримано і графічно показано відносні витрати сталі на 1 м² поверхні купола в залежності від його висоти для певної величини характеристичного снігового навантаження.

Ребристо-кільцеві купола виявилися дешевше сігчастих на 15...40 %.

Шляхом введення додаткових елементів удосконалено вузлове з'єднання серединної поверхні та запропоновано якісно нове поєднання стержнів сігчастого купола.

Вироблені перспективи подальших досліджень з позицій теорії та практики.